

Géométrie hyperbolique à grande échelle

Gabriel Pallier

Université Paris-Sud

15 mai 2018



Le modèle du disque : l'infini dans une coquille de noix



M.C. Escher,
Circle Limit I (1958).

Le modèle du disque : l'infini dans une coquille de noix



- ▶ Tous les poissons ont la même taille.

M.C. Escher,
Circle Limit I (1958).

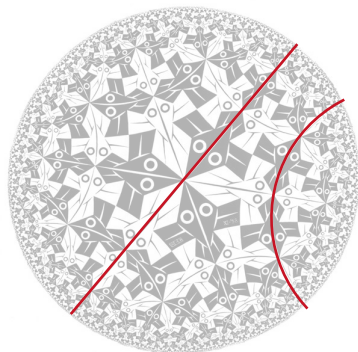
Le modèle du disque : l'infini dans une coquille de noix



M.C. Escher,
Circle Limit I (1958).

- ▶ Tous les poissons ont la même taille.
- ▶ $ds = \frac{2|dz|}{1-|z|^2}$. Courbure -1 : plan hyperbolique \mathbb{H}^2 .

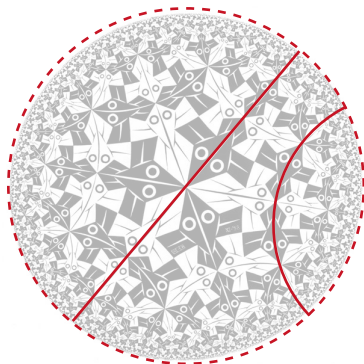
Le modèle du disque : l'infini dans une coquille de noix



M.C. Escher,
Circle Limit I (1958).

- ▶ Tous les poissons ont la même taille.
- ▶ $ds = \frac{2|dz|}{1-|z|^2}$. Courbure -1 : plan hyperbolique \mathbb{H}^2 .
- ▶ Les poissons nagent selon des géodésiques : plongement isométrique $\gamma : \mathbf{R} \rightarrow \mathbb{H}^2$.

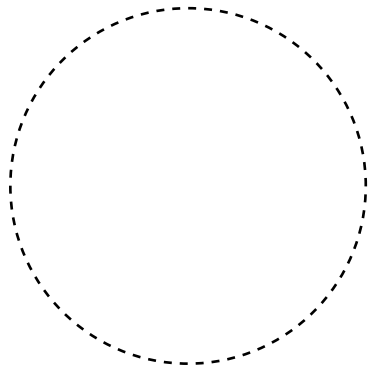
Le modèle du disque : l'infini dans une coquille de noix



M.C. Escher,
Circle Limit I (1958).

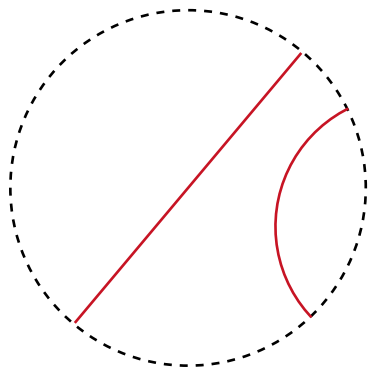
- ▶ Tous les poissons ont la même taille.
- ▶ $ds = \frac{2|dz|}{1-|z|^2}$. Courbure -1 : plan hyperbolique \mathbb{H}^2 .
- ▶ Les poissons nagent selon des géodésiques : plongement isométrique $\gamma : \mathbf{R} \rightarrow \mathbb{H}^2$.

Isométries et cercle à l'infini

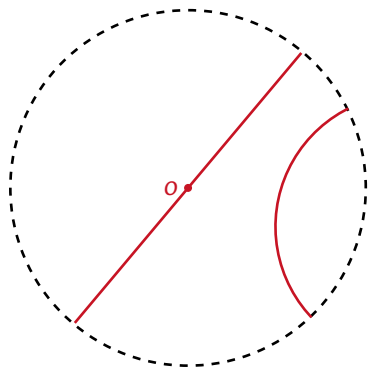


Isométries et cercle à l'infini

- ▶ Les géodésiques joignent les points du **cercle à l'infini** $\partial_\infty \mathbb{H}^2$

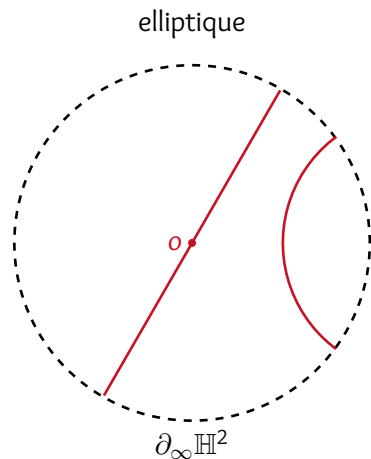


Isométries et cercle à l'infini



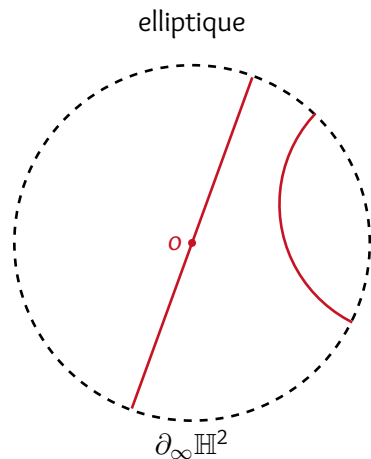
- ▶ Les géodésiques joignent les points du **cercle à l'infini** $\partial_\infty \mathbb{H}^2$
- ▶ **Isométrie** de $\mathbb{H}^2 \rightsquigarrow$ transformation de $\partial_\infty \mathbb{H}^2$.

Isométries et cercle à l'infini



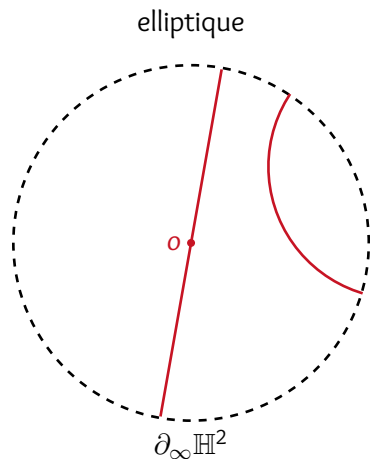
- ▶ Les géodésiques joignent les points du **cercle à l'infini** $\partial_\infty \mathbb{H}^2$
- ▶ **Isométrie** de $\mathbb{H}^2 \rightsquigarrow$ transformation de $\partial_\infty \mathbb{H}^2$. 3 sortes

Isométries et cercle à l'infini



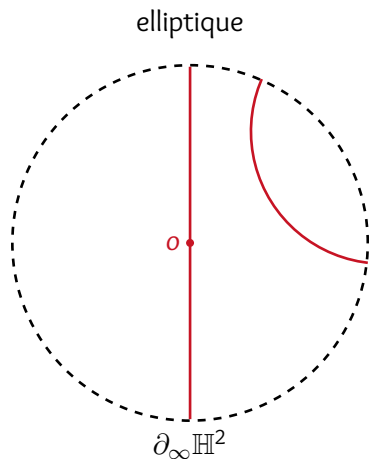
- ▶ Les géodésiques joignent les points du **cercle à l'infini** $\partial_\infty \mathbb{H}^2$
- ▶ **Isométrie** de $\mathbb{H}^2 \rightsquigarrow$ transformation de $\partial_\infty \mathbb{H}^2$. 3 sortes : elliptique,

Isométries et cercle à l'infini



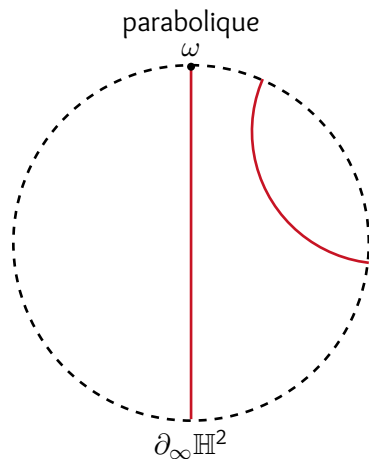
- ▶ Les géodésiques joignent les points du **cercle à l'infini** $\partial_\infty \mathbb{H}^2$
- ▶ **Isométrie** de $\mathbb{H}^2 \rightsquigarrow$ transformation de $\partial_\infty \mathbb{H}^2$. 3 sortes : elliptique,

Isométries et cercle à l'infini



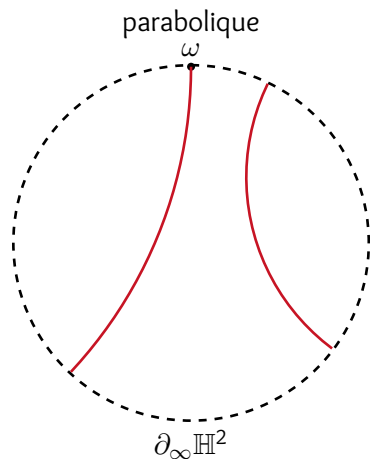
- ▶ Les géodésiques joignent les points du **cercle à l'infini** $\partial_\infty \mathbb{H}^2$
- ▶ **Isométrie** de $\mathbb{H}^2 \rightsquigarrow$ transformation de $\partial_\infty \mathbb{H}^2$. 3 sortes : elliptique,

Isométries et cercle à l'infini



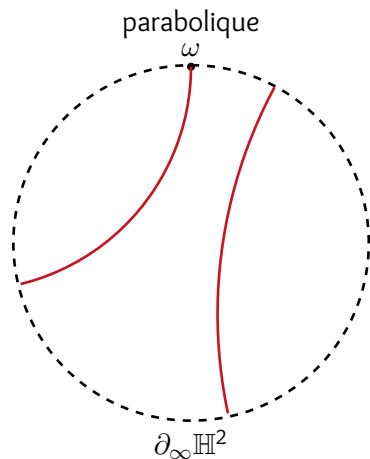
- ▶ Les géodésiques joignent les points du **cercle à l'infini** $\partial_\infty \mathbb{H}^2$
- ▶ **Isométrie** de $\mathbb{H}^2 \rightsquigarrow$ transformation de $\partial_\infty \mathbb{H}^2$. 3 sortes : elliptique, parabolique,

Isométries et cercle à l'infini



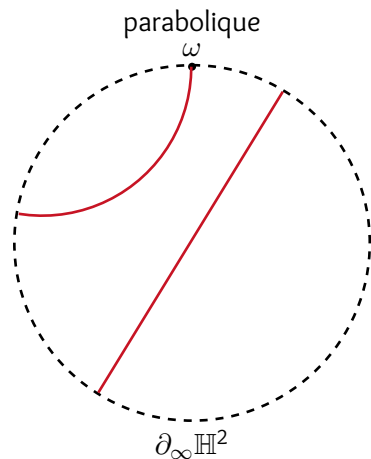
- ▶ Les géodésiques joignent les points du **cercle à l'infini** $\partial_\infty \mathbb{H}^2$
- ▶ **Isométrie** de $\mathbb{H}^2 \rightsquigarrow$ transformation de $\partial_\infty \mathbb{H}^2$. 3 sortes : elliptique, parabolique,

Isométries et cercle à l'infini



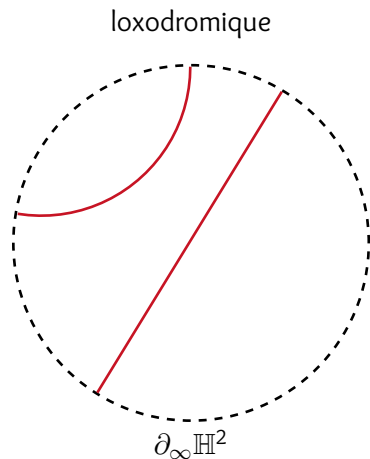
- ▶ Les géodésiques joignent les points du **cercle à l'infini** $\partial_\infty \mathbb{H}^2$
- ▶ **Isométrie** de $\mathbb{H}^2 \rightsquigarrow$ transformation de $\partial_\infty \mathbb{H}^2$. 3 sortes : elliptique, parabolique,

Isométries et cercle à l'infini



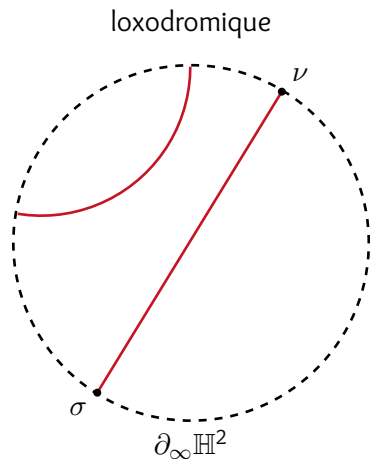
- ▶ Les géodésiques joignent les points du **cercle à l'infini** $\partial_\infty \mathbb{H}^2$
- ▶ **Isométrie** de $\mathbb{H}^2 \rightsquigarrow$ transformation de $\partial_\infty \mathbb{H}^2$. 3 sortes : elliptique, parabolique,

Isométries et cercle à l'infini



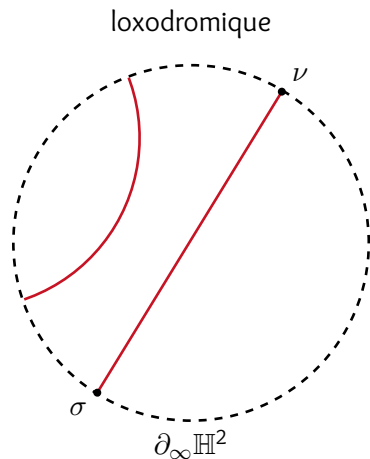
- ▶ Les géodésiques joignent les points du **cercle à l'infini** $\partial_\infty \mathbb{H}^2$
- ▶ **Isométrie** de $\mathbb{H}^2 \rightsquigarrow$ transformation de $\partial_\infty \mathbb{H}^2$. 3 sortes : elliptique, parabolique, loxodromique.

Isométries et cercle à l'infini



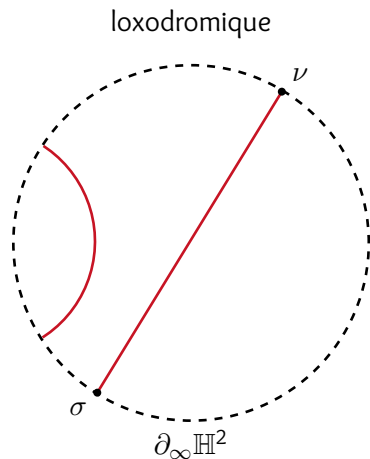
- ▶ Les géodésiques joignent les points du **cercle à l'infini** $\partial_\infty \mathbb{H}^2$
- ▶ **Isométrie** de $\mathbb{H}^2 \rightsquigarrow$ transformation de $\partial_\infty \mathbb{H}^2$. 3 sortes : elliptique, parabolique, loxodromique.

Isométries et cercle à l'infini



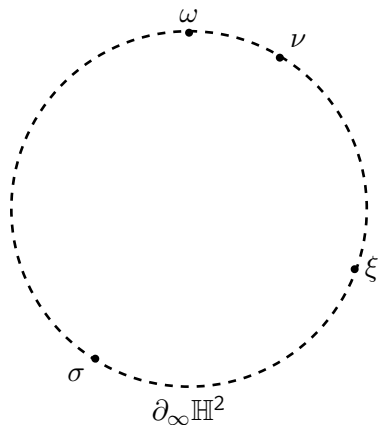
- ▶ Les géodésiques joignent les points du **cercle à l'infini** $\partial_\infty \mathbb{H}^2$
- ▶ **Isométrie** de $\mathbb{H}^2 \rightsquigarrow$ transformation de $\partial_\infty \mathbb{H}^2$. 3 sortes : elliptique, parabolique, loxodromique.

Isométries et cercle à l'infini



- ▶ Les géodésiques joignent les points du **cercle à l'infini** $\partial_\infty \mathbb{H}^2$
- ▶ **Isométrie** de $\mathbb{H}^2 \rightsquigarrow$ transformation de $\partial_\infty \mathbb{H}^2$. 3 sortes : elliptique, parabolique, loxodromique.

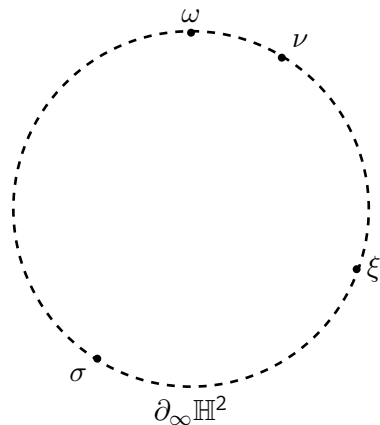
Isométries et cercle à l'infini



- ▶ Les géodésiques joignent les points du **cercle à l'infini** $\partial_\infty \mathbb{H}^2$
- ▶ **Isométrie** de $\mathbb{H}^2 \rightsquigarrow$ transformation de $\partial_\infty \mathbb{H}^2$. 3 sortes : elliptique, parabolique, loxodromique.
- ▶ L'action est 3-transitive au bord ; ni distance, ni mesure invariante.

$$\text{Isom}^+(\mathbb{H}^2) \curvearrowright \partial_\infty \mathbb{H}^2$$

Isométries et cercle à l'infini



- ▶ Les géodésiques joignent les points du **cercle à l'infini** $\partial_\infty \mathbb{H}^2$
- ▶ **Isométrie** de $\mathbb{H}^2 \rightsquigarrow$ transformation de $\partial_\infty \mathbb{H}^2$. 3 sortes : elliptique, parabolique, loxodromique.
- ▶ L'action est 3-transitive au bord ; ni distance, ni mesure invariante.
- ▶ Mais un invariant de 4 points : le **birapport**.

$$\text{Isom}^+(\mathbb{H}^2) \curvearrowright \partial_\infty \mathbb{H}^2 \equiv \text{PSL}(2, \mathbb{R}) \curvearrowright \widehat{\mathbb{R}}.$$

Du cercle à la sphère

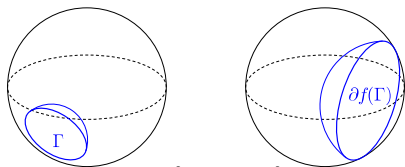
\mathbb{H}^3 est l'espace hyperbolique de dimension 3. $\partial_\infty \mathbb{H}^3$ est une sphère de dimension 2.

Du cercle à la sphère

\mathbb{H}^3 est l'espace hyperbolique de dimension 3. $\partial_\infty \mathbb{H}^3$ est une sphère de dimension 2. Dans le modèle de la boule, les plans totalement géodésiques ($\mathbb{H}^2 \rightarrow \mathbb{H}^3$) sont des portions de sphères orthogonales à $\partial_\infty \mathbb{H}^3$.

Du cercle à la sphère

\mathbb{H}^3 est l'espace hyperbolique de dimension 3. $\partial_\infty \mathbb{H}^3$ est une sphère de dimension 2. Dans le modèle de la boule, les plans totalement géodésiques ($\mathbb{H}^2 \rightarrow \mathbb{H}^3$) sont des portions de sphères orthogonales à $\partial_\infty \mathbb{H}^3$.



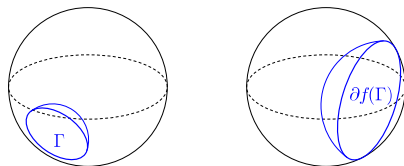
$$f : \mathbb{H}_{\mathbf{R}}^3 \longrightarrow \mathbb{H}_{\mathbf{R}}^3$$

$$\partial f \in \text{Conf}(S^2)$$

$$\text{Isom}^+(\mathbb{H}^2) \curvearrowright \partial_\infty \mathbb{H}^2 \equiv \text{PSL}(2, \mathbf{R}) \curvearrowright \widehat{\mathbf{R}},$$

Du cercle à la sphère

\mathbb{H}^3 est l'espace hyperbolique de dimension 3. $\partial_\infty \mathbb{H}^3$ est une sphère de dimension 2. Dans le modèle de la boule, les plans totalement géodésiques ($\mathbb{H}^2 \rightarrow \mathbb{H}^3$) sont des portions de sphères orthogonales à $\partial_\infty \mathbb{H}^3$.



$$f : \mathbb{H}_{\mathbf{R}}^3 \longrightarrow \mathbb{H}_{\mathbf{R}}^3$$

$$\partial f \in \text{Conf}(S^2)$$

$$\text{Isom}^+(\mathbb{H}^3) \curvearrowright \partial_\infty \mathbb{H}^3 \equiv \text{PGL}(2, \mathbf{C}) \curvearrowright \widehat{\mathbf{C}}.$$

Autres espaces hyperboliques : $\mathbb{H}^m = \text{SO}_0(n, 1)/(\text{SO}(n) \times \text{SO}(1))$,
($m \geq 2$), $\mathbb{H}_{\mathbf{C}}^2 = \text{SU}(2, 1)/(\text{SU}(2) \times S^1)$ (dim réelle 4).

Quasiisométries, quasigéodésiques

Définition

Soient X et Y deux espaces métriques. $f : X \rightarrow Y$ est un **plongement quasiisométrique** s'il existe $\lambda > 0, C \geq 0$ tels que

$$\lambda^{-1}d(x, x') - c \leq d(f(x), f(x')) \leq \lambda d(x, x') + c.$$

Une **quasigéodésique** est un plongement quasiisométrique $\tilde{\gamma} : \mathbf{R}_{(+)} \rightarrow X$.

Quasiisométries, quasigéodésiques

Définition

Soient X et Y deux espaces métriques. $f : X \rightarrow Y$ est un **plongement quasiisométrique** s'il existe $\lambda > 0, C \geq 0$ tels que

$$\lambda^{-1}d(x, x') - c \leq d(f(x), f(x')) \leq \lambda d(x, x') + c.$$

Une **quasigéodésique** est un plongement quasiisométrique $\tilde{\gamma} : \mathbf{R}_{(+)} \rightarrow X$.

Estimée longueur-distance pour les quasigéodésiques

Pour simplifier : $c = 0$. Alors pour tous $a, b \in \mathbf{R}$

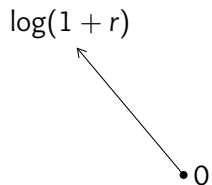
$$\text{longueur}(\tilde{\gamma}([a, b])) \leq \bigwedge_{\text{dep. } \lambda} d(\tilde{\gamma}(a), \tilde{\gamma}(b)).$$

A quoi ressemble une quasigéodésique ?

Dans le plan euclidien

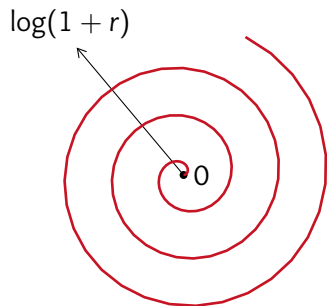
A quoi ressemble une quasigéodésique ?

Dans le plan euclidien



A quoi ressemble une quasigéodésique ?

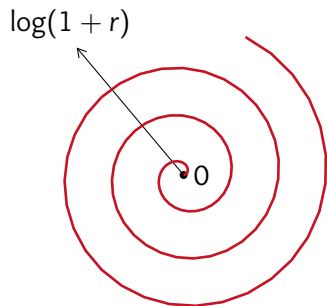
Dans le plan euclidien



$$\begin{cases} r(t) &= t, \\ \theta(t) &= \log(1 + t). \end{cases}$$

A quoi ressemble une quasigéodésique ?

Dans le plan euclidien

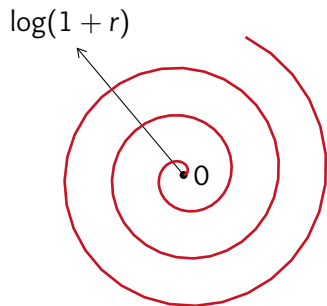


Dans le plan hyperbolique

$$\begin{cases} r(t) &= t, \\ \theta(t) &= \log(1+t). \end{cases}$$

A quoi ressemble une quasigéodésique ?

Dans le plan euclidien



$$\begin{cases} r(t) &= t, \\ \theta(t) &= \log(1 + t). \end{cases}$$

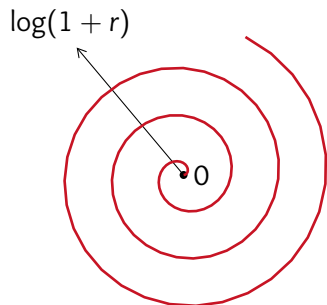
Dans le plan hyperbolique



M.C. Escher,
Circle Limit III (1959).

A quoi ressemble une quasigéodésique ?

Dans le plan euclidien



$$\begin{cases} r(t) = t, \\ \theta(t) = \log(1 + t). \end{cases}$$

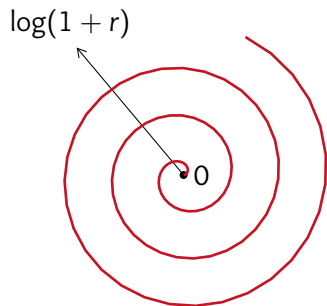
Dans le plan hyperbolique



M.C. Escher,
Circle Limit III (1959).

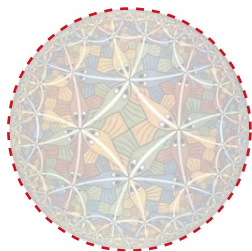
A quoi ressemble une quasigéodésique ?

Dans le plan euclidien



$$\begin{cases} r(t) &= t, \\ \theta(t) &= \log(1 + t). \end{cases}$$

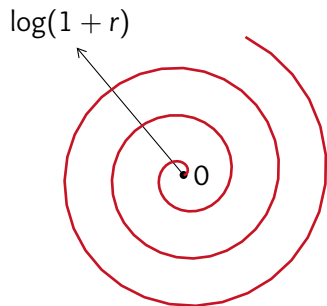
Dans le plan hyperbolique



M.C. Escher,
Circle Limit III (1959).

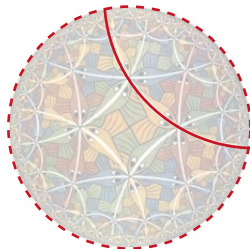
A quoi ressemble une quasigéodésique ?

Dans le plan euclidien



$$\begin{cases} r(t) &= t, \\ \theta(t) &= \log(1 + t). \end{cases}$$

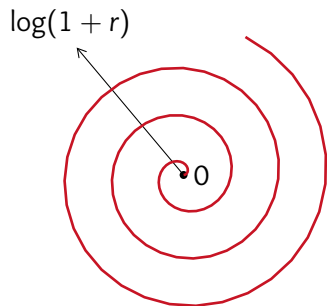
Dans le plan hyperbolique



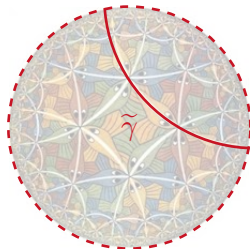
M.C. Escher,
Circle Limit III (1959).

A quoi ressemble une quasigéodésique ?

Dans le plan euclidien



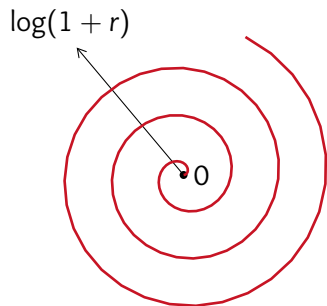
Dans le plan hyperbolique



$$\begin{cases} r(t) &= t, \\ \theta(t) &= \log(1+t). \end{cases}$$

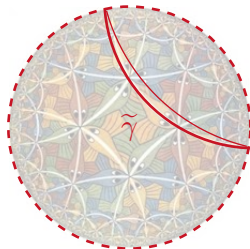
A quoi ressemble une quasigéodésique ?

Dans le plan euclidien



$$\begin{cases} r(t) &= t, \\ \theta(t) &= \log(1+t). \end{cases}$$

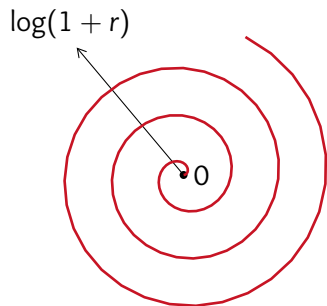
Dans le plan hyperbolique



$\tilde{\gamma}$ quasigéodésique

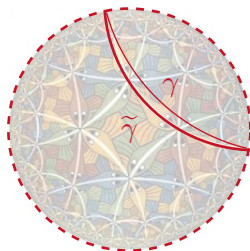
A quoi ressemble une quasigéodésique ?

Dans le plan euclidien



$$\begin{cases} r(t) &= t, \\ \theta(t) &= \log(1+t). \end{cases}$$

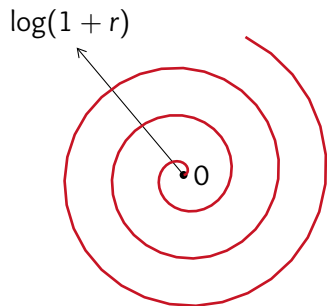
Dans le plan hyperbolique



$\tilde{\gamma}$ quasigéodésique

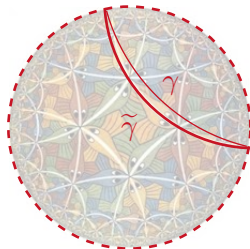
A quoi ressemble une quasigéodésique ?

Dans le plan euclidien



$$\begin{cases} r(t) = t, \\ \theta(t) = \log(1+t). \end{cases}$$

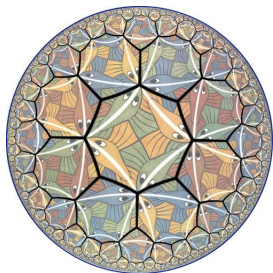
Dans le plan hyperbolique



$\tilde{\gamma}$ quasigéodésique
(γ géodésique.)

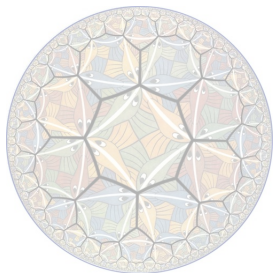
Le plan de nage des poissons de *Circle Limit III*

2×2 poissons : 1 octogone.



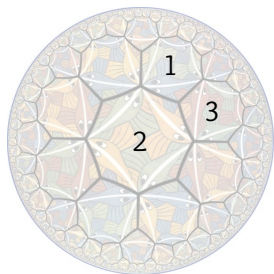
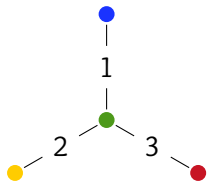
Le plan de nage des poissons de *Circle Limit III*

2×2 poissons : 1 octogone. Soit $\Gamma < W$ le sous-groupe d'isométries du pavage maximal sans torsion respectant les poissons colorés.



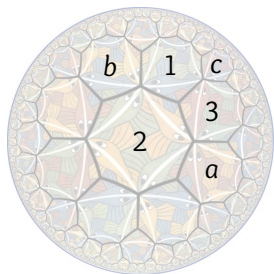
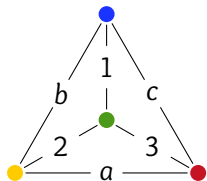
Le plan de nage des poissons de *Circle Limit III*

2×2 poissons : 1 octogone. Soit $\Gamma < W$ le sous-groupe d'isométries du pavage maximal sans torsion respectant les poissons colorés.



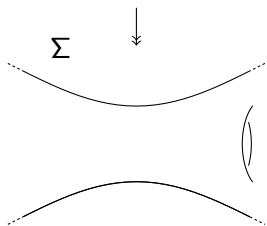
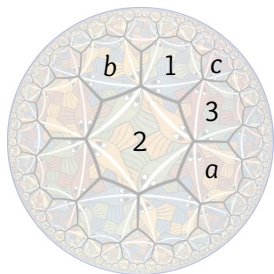
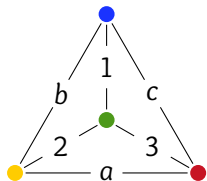
Le plan de nage des poissons de *Circle Limit III*

2×2 poissons : 1 octogone. Soit $\Gamma < W$ le sous-groupe d'isométries du pavage maximal sans torsion respectant les poissons colorés.



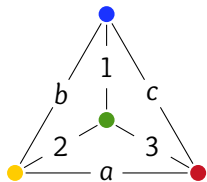
Le plan de nage des poissons de *Circle Limit III*

2×2 poissons : 1 octogone. Soit $\Gamma < W$ le sous-groupe d'isométries du pavage maximal sans torsion respectant les poissons colorés.

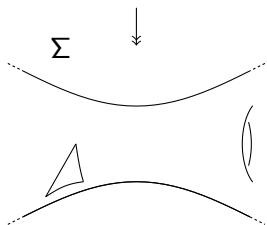
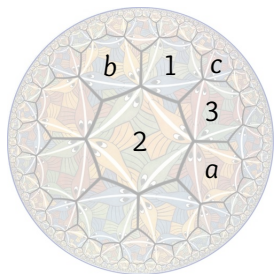


Le plan de nage des poissons de *Circle Limit III*

2×2 poissons : 1 octogone. Soit $\Gamma < W$ le sous-groupe d'isométries du pavage maximal sans torsion respectant les poissons colorés.

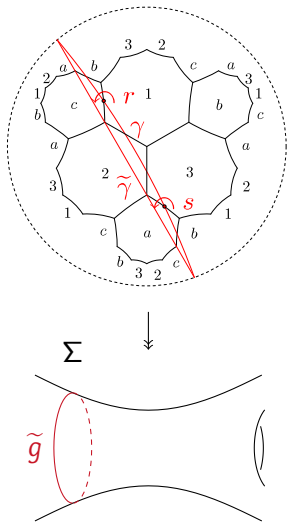


$\Sigma = \Gamma \backslash \mathbb{H}^2$ est une surface hyperbolique compacte à 5 trous pavée par 24 poissons (ou 96 triangles de Möbius).



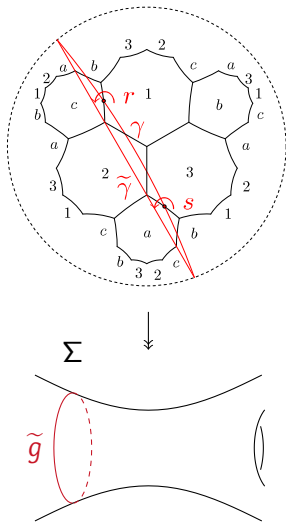
La stabilité des quasigéodésiques

$\tilde{\gamma}$ relève $\tilde{g} : S^1 \rightarrow \Sigma$.



La stabilité des quasigéodésiques

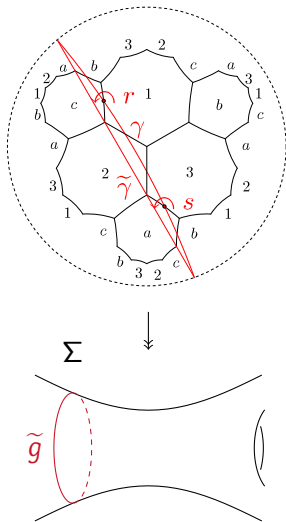
$\tilde{\gamma}$ relève $\tilde{g} : S^1 \rightarrow \Sigma$. Soit g de longueur minimale dans la classe d'homotopie libre de \tilde{g} .



La stabilité des quasigéodésiques

$\tilde{\gamma}$ relève $\tilde{g} : S^1 \rightarrow \Sigma$. Soit g de longueur minimale dans la classe d'homotopie libre de \tilde{g} .

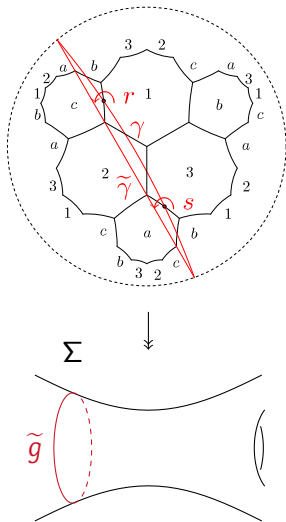
$\exists g : \text{compacité,}$



La stabilité des quasigéodésiques

$\tilde{\gamma}$ relève $\tilde{g} : S^1 \rightarrow \Sigma$. Soit g de longueur minimale dans la classe d'homotopie libre de \tilde{g} .

$\exists ! g$: compacité, courbure < 0 .

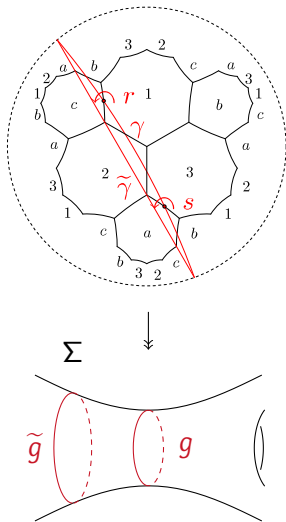


La stabilité des quasigéodésiques

$\tilde{\gamma}$ relève $\tilde{g} : S^1 \rightarrow \Sigma$. Soit g de longueur minimale dans la classe d'homotopie libre de \tilde{g} .

$\exists ! g$: compacité, courbure < 0 .

- ▶ Dans $\pi_1(\Sigma) = \Gamma$, $[g]$ loxodromique :
- ▶ $[g] = rs \in \Gamma, r, s \in W$ renversements.



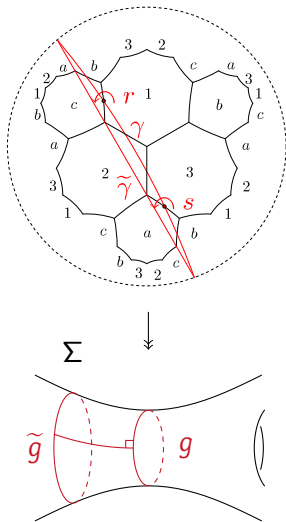
La stabilité des quasigéodésiques

$\tilde{\gamma}$ relève $\tilde{g} : S^1 \rightarrow \Sigma$. Soit g de longueur minimale dans la classe d'homotopie libre de \tilde{g} .

$\exists ! g$: compacité, courbure < 0 .

- ▶ Dans $\pi_1(\Sigma) = \Gamma$, $[g]$ loxodromique :
- ▶ $[g] = rs \in \Gamma$, $r, s \in W$ renversements.

$d(\tilde{\gamma}(t), \gamma) = cste$: $\tilde{\gamma}$ hypercycle
 $\tilde{\gamma}$ quasigéodésique.



La poursuite géodésique

Théorème – forme moderne du lemme de Morse (années 1930)

Soit $\tilde{\gamma} : \mathbf{R} \rightarrow \mathbb{H}^n$ une quasigéodésique.

La poursuite géodésique

Théorème – forme moderne du lemme de Morse (années 1930)

Soit $\tilde{\gamma} : \mathbf{R} \rightarrow \mathbb{H}^n$ une quasigéodésique. Il existe $\gamma : \mathbf{R} \rightarrow \mathbb{H}^n$ géodésique qui **poursuit** $\tilde{\gamma}$

La poursuite géodésique

Théorème – forme moderne du lemme de Morse (années 1930)

Soit $\tilde{\gamma} : \mathbf{R} \rightarrow \mathbb{H}^n$ une quasigéodésique. Il existe $\gamma : \mathbf{R} \rightarrow \mathbb{H}^n$ géodésique qui **poursuit** $\tilde{\gamma}$, dans le sens où

$$d_{\text{Hausdorff}}(\tilde{\gamma}, \gamma) < +\infty.$$

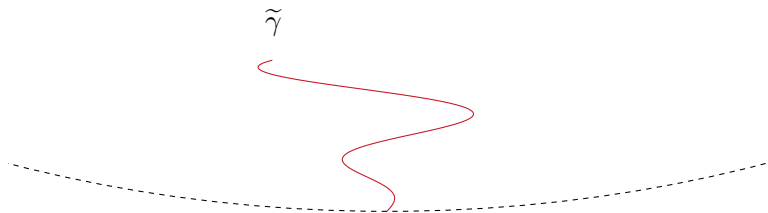
La poursuite géodésique

Théorème – forme moderne du lemme de Morse (années 1930)

Soit $\tilde{\gamma} : \mathbf{R} \rightarrow \mathbb{H}^n$ une quasigéodésique. Il existe $\gamma : \mathbf{R} \rightarrow \mathbb{H}^n$ géodésique qui **poursuit** $\tilde{\gamma}$, dans le sens où

$$d_{\text{Hausdorff}}(\tilde{\gamma}, \gamma) \leq H(\lambda, c).$$

De plus, la dépendance de H par rapport à c est linéaire.



Une quasigéodésique $\mathbf{R} \rightarrow \mathbb{H}^2$ (continue) et sa poursuite.

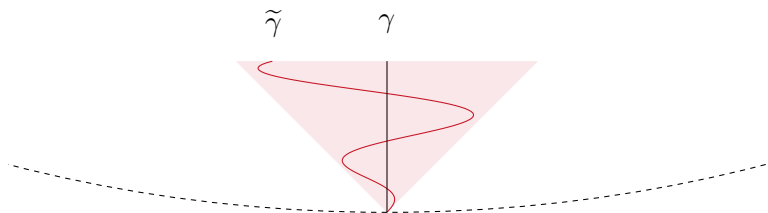
La poursuite géodésique

Théorème – forme moderne du lemme de Morse (années 1930)

Soit $\tilde{\gamma} : \mathbf{R} \rightarrow \mathbb{H}^n$ une quasigéodésique. Il existe $\gamma : \mathbf{R} \rightarrow \mathbb{H}^n$ géodésique qui **poursuit** $\tilde{\gamma}$, dans le sens où

$$d_{\text{Hausdorff}}(\tilde{\gamma}, \gamma) \leq H(\lambda, c).$$

De plus, la dépendance de H par rapport à c est linéaire.

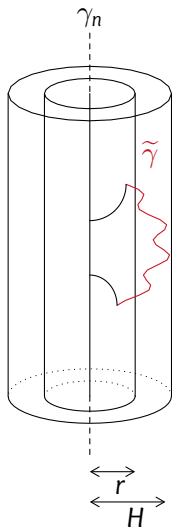


Une quasigéodésique $\mathbf{R} \rightarrow \mathbb{H}^2$ (continue) et sa poursuite.

Idée de preuve d'après Efremovich et Tihomirova (1964)

- ▶ Pour tout $n \in \mathbf{Z}$, raccorder $\tilde{\gamma}(0)$ et $\tilde{\gamma}(n)$ avec γ_n .
- ▶ En coordonnées cylindriques (r, θ, z) autour de γ_n :

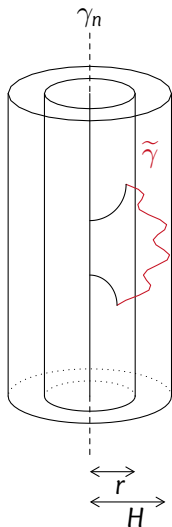
$$ds^2 = dr^2 + \cosh^2 rdz^2 + \sinh^2 rd\theta^2.$$



Idée de preuve d'après Efremovich et Tihomirova (1964)

- ▶ Pour tout $n \in \mathbf{Z}$, raccorder $\tilde{\gamma}(0)$ et $\tilde{\gamma}(n)$ avec γ_n .
- ▶ En coordonnées cylindriques (r, θ, z) autour de γ_n :

$$ds^2 = dr^2 + \cosh^2 rdz^2 + \sinh^2 rd\theta^2.$$

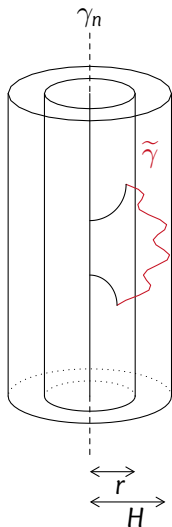


Idée de preuve d'après Efremovich et Tihomirova (1964)

- ▶ Pour tout $n \in \mathbf{Z}$, raccorder $\tilde{\gamma}(0)$ et $\tilde{\gamma}(n)$ avec γ_n .
- ▶ En coordonnées cylindriques (r, θ, z) autour de γ_n :

$$ds^2 = dr^2 + \cosh^2 r dz^2 + \sinh^2 r d\theta^2.$$

- ▶ Il y a **contraction des longueurs** des courbes à distance $\geq r$ lors de la projection sur γ_n , facteur $\cosh r$.

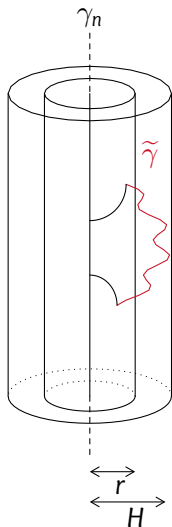


Idée de preuve d'après Efremovich et Tihomirova (1964)

- ▶ Pour tout $n \in \mathbf{Z}$, raccorder $\tilde{\gamma}(0)$ et $\tilde{\gamma}(n)$ avec γ_n .
- ▶ En coordonnées cylindriques (r, θ, z) autour de γ_n :

$$ds^2 = dr^2 + \cosh^2 r dz^2 + \sinh^2 r d\theta^2.$$

- ▶ Il y a **contraction des longueurs** des courbes à distance $\geq r$ lors de la projection sur γ_n , facteur $\cosh r$.
- ▶ $\tilde{\gamma}$ ne peut pas rester longtemps loin : puis estimées longueur distance, et passage à la limite $n \rightarrow +\infty$ (Ascoli).



Prolongement des quasiisométries à la sphère à l'infini

Théorème – suite aux travaux de Mostow, Margulis (années 1970)

Soient H et H' et $f : H \rightarrow H'$ un plongement quasiisométrique. Il existe $\partial_\infty f : S^{n-1} \rightarrow S^{m-1}$. De plus $\partial_\infty f$ est **Hölder-continue**, **Hölder-expansive** et **quasisymétrique** : il existe $K > 0$, $\alpha \geq 1$ tels que si $d(x, y) \leq d(x, z)$ alors

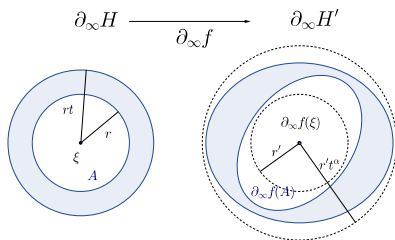
$$K^{-1} \left(\frac{d(x, z)}{d(x, y)} \right)^{1/\alpha} \leq \frac{d(\partial_\infty f(x), \partial_\infty f(z))}{d(\partial_\infty f(x), \partial_\infty f(y))} \leq K \left(\frac{d(x, z)}{d(x, y)} \right)^\alpha .$$

Prolongement des quasiisométries à la sphère à l'infini

Théorème – suite aux travaux de Mostow, Margulis (années 1970)

Soient H et H' et $f : H \rightarrow H'$ un plongement quasiisométrique. Il existe $\partial_\infty f : S^{n-1} \rightarrow S^{m-1}$. De plus $\partial_\infty f$ est **Hölder-continue**, **Hölder-expansive** et **quasisymétrique** : il existe $K > 0, \alpha \geq 1$ tels que si $d(x, y) \leq d(x, z)$ alors

$$K^{-1} \left(\frac{d(x, z)}{d(x, y)} \right)^{1/\alpha} \leq \frac{d(\partial_\infty f(x), \partial_\infty f(z))}{d(\partial_\infty f(x), \partial_\infty f(y))} \leq K \left(\frac{d(x, z)}{d(x, y)} \right)^\alpha .$$



Dimension topologique des sphères à l'infini

Proposition

S'il existe un plongement quasiisométrique $\mathbb{H}^n \rightarrow \mathbb{H}^m$, alors $n \leq m$.

Dimension topologique des sphères à l'infini

Proposition

S'il existe un plongement quasiisométrique $\mathbb{H}^n \rightarrow \mathbb{H}^m$, alors $n \leq m$.

Démonstration.

Soit f un tel plongement. Alors $\partial_\infty f$ est un plongement topologique $\mathbb{R}^{n-1} \rightarrow \mathbb{R}^{m-1}$. □

Dimension topologique des sphères à l'infini

Proposition

S'il existe un plongement quasiisométrique $\mathbb{H}^n \rightarrow \mathbb{H}^m$, alors $n \leq m$.

Démonstration.

Soit f un tel plongement. Alors $\partial_\infty f$ est un plongement topologique $\mathbb{R}^{n-1} \rightarrow \mathbb{R}^{m-1}$. □

- ▶ On n'a pas utilisé là le caractère quasisymétrique de $\partial_\infty f$.

Dimension topologique des sphères à l'infini

Proposition

S'il existe un plongement quasiisométrique $\mathbb{H}^n \rightarrow \mathbb{H}^m$, alors $n \leq m$.

Démonstration.

Soit f un tel plongement. Alors $\partial_\infty f$ est un plongement topologique $\mathbb{R}^{n-1} \rightarrow \mathbb{R}^{m-1}$. □

- ▶ On n'a pas utilisé là le caractère quasisymétrique de $\partial_\infty f$.
- ▶ Existe-t-il un plongement quasiisométrique $\mathbb{H}_{\mathbb{C}}^2 \rightarrow \mathbb{H}^4$? (Les bords étant tous les deux de dimension topologique 3)

La dimension conforme

Définition – Pansu (1989), version légèrement reformulée

Soit Z un espace métrique. La **dimension conforme** de Z est

$$\text{Cdim}(Z) = \inf \{ \dim_{\text{Hausdorff}}(Z, d') : (Z, d) \xrightarrow{id} (Z, d') \text{ homéo. quasisym.} \} .$$

La dimension conforme

Définition – Pansu (1989), version légèrement reformulée

Soit Z un espace métrique. La **dimension conforme** de Z est

$$\text{Cdim}(Z) = \inf \{ \dim_{\text{Hausdorff}}(Z, d') : (Z, d) \xrightarrow{id} (Z, d') \text{ homéo. quasisym.} \}.$$

H	\mathbb{H}^4	$\mathbb{H}_{\mathbb{C}}^2$
$\dim \partial_{\infty} H$	3	3
$\text{Cdim } \partial_{\infty} H$	3	4

La dimension conforme

Définition – Pansu (1989), version légèrement reformulée

Soit Z un espace métrique. La **dimension conforme** de Z est

$$\text{Cdim}(Z) = \inf \{ \dim_{\text{Hausdorff}}(Z, d') : (Z, d) \rightarrow_{id} (Z, d') \text{ homéo. quasisym.} \}.$$

H	\mathbb{H}^4	$\mathbb{H}_{\mathbb{C}}^2$
$\dim \partial_{\infty} H$	3	3
$\text{Cdim } \partial_{\infty} H$	3	4

La dimension conforme augmente lors d'un plongement quasisymétrique. Conclusion : pas de plongement quasiisométrique $\mathbb{H}_{\mathbb{C}}^2 \rightarrow \mathbb{H}^4$.

Géométrie à grande échelle sous-linéaire

Définition – Cornulier (2011)

X et Y espaces métriques. On fixe $o \in X$, puis $|x| := d(o, x)$. X et Y sont **sous-linéairement bilipschitziennement équivalents** (SBE) s'il existe $f : X \rightarrow Y$ et $g : Y \rightarrow X$, $\lambda \geq 1$ et $u(r) \ll r$ tels que

$$\lambda^{-1}d(x, x') - u(|x| + |x'|) \leq d(f(x), f(x')) \leq \lambda d(x, x') + u(|x| + |x'|),$$

$$d(f \circ g(x), x) \leq u(|x|).$$

Géométrie à grande échelle sous-linéaire

Définition – Cornulier (2011)

X et Y espaces métriques. On fixe $o \in X$, puis $|x| := d(o, x)$. X et Y sont **sous-linéairement bilipschitziennement équivalents** (SBE) s'il existe $f : X \rightarrow Y$ et $g : Y \rightarrow X$, $\lambda \geq 1$ et $u(r) \ll r$ tels que

$$\lambda^{-1}d(x, x') - u(|x| + |x'|) \leq d(f(x), f(x')) \leq \lambda d(x, x') + u(|x| + |x'|),$$

$$d(f \circ g(x), x) \leq u(|x|).$$

Théorème – Cornulier (2016)

Si X et Y sont des espaces hyperboliques, $\partial_\infty f$ est bihölderienne.

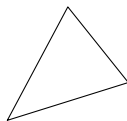
Théorème – (2017)

$\partial_\infty f$ est un homéomorphisme sous-linéairement quasisymétrique.
Dans certains cas favorables, une dimension conforme est invariante.

Ce que cet exposé ne dit pas

Dans cet exposé

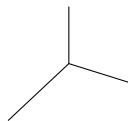
- ▶ on a caché la généralité sous laquelle les théorèmes s'appliquent, l'**hyperbolicité au sens dégagé par Gromov (1987)**.



$R \ll \delta$



$R \sim \delta$



$R \gg \delta$

- ▶ on n'a pas défini **intrinsèquement** la structure des sphères à l'infini.
- ▶ on n'a pas expliqué **pourquoi** on étudie les quasiisométries, ni les équivalences bilipschitziennes (les raisons sont un peu différentes).

A voir et à lire...

1. Coxeter discusses the math behind Escher's circle limit III (YouTube).
2. J. Leys, *Ceci n'est pas une géodésique !* – Images des mathématiques, CNRS, 4 avril 2018 (piste [verte](#)).
3. E. Ghys, *Les triangles d'Euclide, de Gauss et de Gromov* – Images des mathématiques, CNRS, 27 avril 2009 (piste [bleue](#)).

Merci pour votre attention.